

Filtr FIR

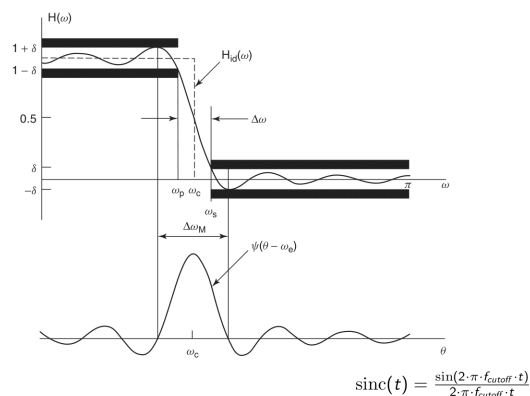
$$y(n) = \sum_{m=0}^{M-1} b(m)x(n-m) - \sum_{k=0}^{K-2} a(k)y(n-k)$$

- Prostsze w projektowaniu
- Łatwa możliwość uzyskania liniowej charakterystyki fazowej
- Gwarantowana stabilność
- Większe wymagania obliczeniowe i pamięciowe
- Trudniejsza do uzyskania stromość charakterystyki w paśmie przejściowym
- Wprowadzają większe opóźnienia

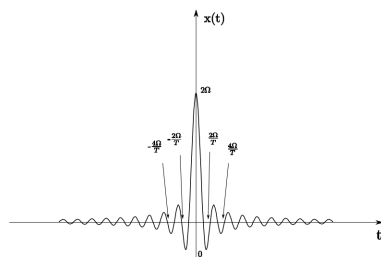
W porównaniu do filtrów IIR

Każda próbka sygnału wyjściowego jest określona przez wartość średnią ważoną ostatnich próbek sygnału poddawanego filtracji.

Właściwości podstawowe



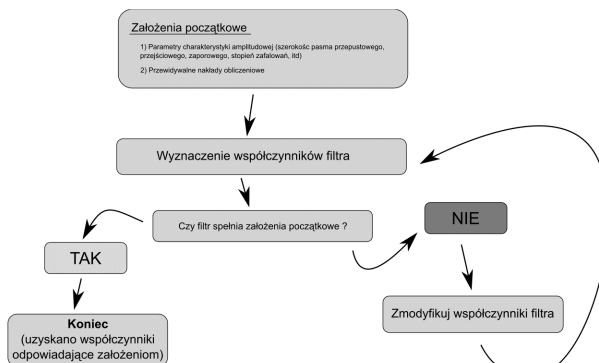
Właściwości podstawowe



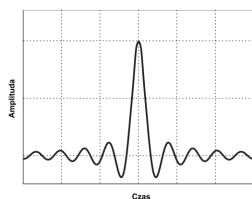
Funkcja sinc

Przy określaniu charakterystyki częstotliwościowej filtra dolnoprzepustowego istotne jest określenie stopnia aproksymacji funkcji sinc, dobór liczby próbek i warunek ich symetrii decydujący o zachowaniu charakterystyki fazowej.

Projektowanie filtra

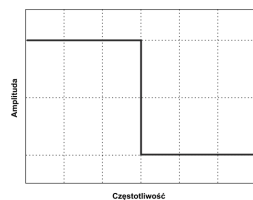


FIR: Metoda okien czasowych

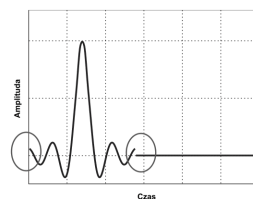


Funkcja sinc w dziedzinie czasu określona w dziedzinie od $-\infty$ do ∞ posiada widmo amplitudowe o charakterystyce impulsu prostokątnego

Amplituda impulsu jest zależna od maksimum funkcji sinc, natomiast szerokość impulsu jest determinowana przez liczbę miejsc zerowych funkcji w rozpatrywanym przedziale.

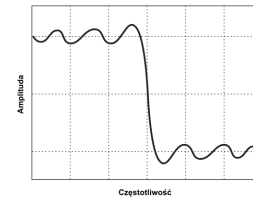


FIR: Metoda okien czasowych

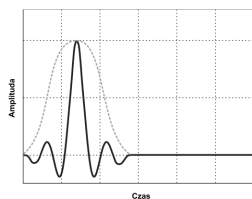


Symetryczne ograniczenie (i jednocześnie zachowanie ciągłości fazy) rozpatrywanej funkcji w dziedzinie czasu powoduje degradację impulsu w dziedzinie częstotliwości

Występowanie nieciągłości w rozpatrywanym sygnale powoduje powstawanie efektu Gibbsa. Stopień zafalowań jest zależny od wartości tych nieciągłości.

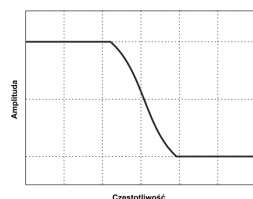


FIR: Metoda okien czasowych



W celu zmniejszenia stopnia tych zafalowań stosuje się techniki okienkowania w dziedzinie czasu polegającego na wymnożeniu sygnału z funkcją okna.

W rezultacie uzyskuje się znaczne zmniejszenie zafalowań kosztem zwiększenia zakresu stanu przejściowego pomiędzy wartością maksymalną i minimalną amplitudowej charakterystyki częstotliwościowej



FIR: Metoda okien czasowych

Uogólniając powyższe rozważania można stwierdzić następujące wnioski:

- I) Charakterystyka częstotliwościowa jest ściśle związana z liczbą próbek funkcji sinc.
- II) W celu poprawy bądź zmiany właściwości filtra należy zastosować funkcję okna.
- III) Wartości współczynników filtra rzędu N-1 można uzyskać za pomocą następującej zależności:

$$h(n) = \frac{\sin(\omega t) \cdot w(n)}{\omega t}$$

- IV) Filtr reprezentowany przez współczynniki $h(n)$ jest filtrem typu FIR (SOI) ponieważ posiada skończoną liczbę współczynników, a jego odpowiedź impulsowa dąży do wartości 0.

FIR: Metoda okien czasowych - etapy projektowania

- 1° Opis żądanej charakterystyki filtru w dziedzinie częstotliwości z uwzględnieniem liniowości fazy.
- 2° Wyznaczenie odpowiedzi impulsowej filtru (konwersja $f \rightarrow t$).
- 3° Ograniczyć liczbę próbek odpowiednio do liczby wymaganych współczynników filtra.

FIR: Metoda okien czasowych - etapy projektowania

- 4° Uzupełnić wartościami zero wybrany zestaw współczynników i wyznaczyć charakterystykę częstotliwościową.
- 5° Jeśli uzyskany filtr nie spełnia zadanych wymagań należy zwiększyć liczbę próbek (rzęd) w sytuacji gdy pasmo przejściowe jest zbyt szerokie lub wykorzystać okno o danych parametrach gdy tłumienie w paśmie zaporowym jest zbyt małe.
- 6° Po uzyskaniu nowego zestawu współczynników kroki 4° oraz 5° należy powtarzać do momentu aż zostaną osiągnięte początkowe założenia projektowe (o ile jest to możliwe).

FIR: Metoda okien czasowych

• Okno prostokątne

$$w(n) = \begin{cases} 1 & \text{dla } 0 \leq n \leq N-1 \\ 0 & \text{dla pozostałych} \end{cases}$$

• Okno Blackmana

$$w(n) = 0.42 - \frac{1}{2} \cdot \cos\left(\frac{2\pi n}{N-1}\right) + 0.08 \cdot \cos\left(\frac{4\pi n}{N-1}\right)$$

• Okno Hanninga

$$w(n) = \frac{1}{2} \cdot \left[1 - \cos\left(\frac{2\pi n}{N}\right)\right]$$

• Okno Hamminga

$$w(n) = 0.54 - 0.46 \cdot \cos\left(\frac{2\pi n}{N}\right)$$

FIR: Metoda okien czasowych

Typ okna	Maksymalna amplituda listka bocznego [dB]	Szerokość listka głównego	Szerokość pasma przejściowego	Minimalne tłumienie w paśmie zaporowym [dB]
prostokątne	-13	$\frac{4\pi}{N}$	$\frac{0.9}{N}$	-21
Blackmana	-57	$\frac{12\pi}{N}$	$\frac{5.5}{N}$	-74
Hanninga	-31	$\frac{8\pi}{N}$	$\frac{3.1}{N}$	-44
Hamminga	-41	$\frac{8\pi}{N}$	$\frac{3.3}{N}$	-53

- Największym tłumieniem w paśmie zaporowym charakteryzuje się okno Blackmana przy jednocześnie najszerszym listku głównym.
- Podczas projektowania zawsze poszukujemy kompromisu pomiędzy przeciwstawnymi parametrami charakterystyki częstotliwościowej (np. szerokością listka głównego, a poziomem listków bocznych).

FIR: Metoda okien czasowych

Z rozpatrywanej grupy okien płyną następujące wnioski:

- Okno Hamminga ma szybsze opadanie charakterystyki niż Blackmana.
- Najlepsze tłumienie w paśmie zaporowym posiada okno Blackmana.
- Okno prostokątne posiada najgorsze tłumienie w paśmie zaporowym.
- W przypadku okna Hanninga poziom tłumienia w paśmie zaporowym rośnie wraz z częstotliwością.
- Szerokość listka głównego okna Hamminga i Hanninga jest taka sama.

W praktyce łatwiej poradzić sobie ze zmianą szybkości opadania charakterystyki częstotliwościowej niż ze słabym poziomem tłumienia w paśmie zaporowym.

FIR: Metoda okien czasowych

Ze względu, że głównymi parametrami mającymi wpływ na kształtowanie charakterystyki filtra w procesie projektowania jest rozmiar i typ okna (z ograniczonego zestawu okien czasowych) w praktyce stosuje się dodatkowo tzw. *okna parametryczne* (Kaisera, Dolpha-Czebyszewa, Gaussa).

Do dwóch najczęściej stosowanych okien parametrycznych należą:

1. Okno Kaisera.
2. Okno Dolpha-Czebyszewa.

Poprzez zmiany parametrów okien (prócz rozmiaru) można dokładniej wpływać na charakterystykę filtra w każdym z rozpatrywanych pasm.

Okno Kaisera

Okno Kaisera jest zdefiniowane w następujący sposób:

$$w(n) = \frac{I_0\left(\beta\sqrt{1 - \left(\frac{n}{N}\right)^2}\right)}{I_0(\beta)}, \quad -N \leq n \leq N$$

gdzie:

β - stała wpływająca na kształt okna

$I_0(i)$ - zmodyfikowana funkcja Bessela zerowego rzędu

Okno Kaisera

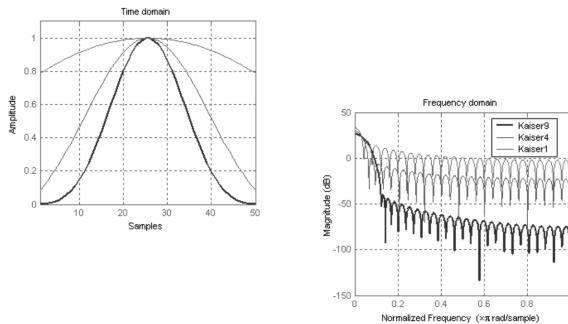
Zmodyfikowana funkcja Bessla zerowego rzędu stosowana często w praktyce jest aproksymowana zależnością:

$$I_0(i) \cong 1 + \sum_{p=1}^{20} \left[\frac{\left(\frac{i}{2}\right)^p}{p!} \right]^2$$

Dla funkcji tej zachodzi $I_0(i) > 0$ gdy $i > 0$.

W przypadku zastosowania okna Kaisera do wyznaczania charakterystyki częstotliwościowej parametr β wpływa na minimalny poziom tłumienia w paśmie zaporowym.

Okno Kaisera



Okno Dolpha-Czebyszewa

Okno to jest zdefiniowane przez funkcję postaci:

$$w(n) = \frac{1}{2N+1} \left[\frac{1}{\gamma} + 2 \sum_{i=1}^N T_i \left(\beta \cos \frac{i}{2N+1} \right) \cos \frac{2ni\pi}{2N+1} \right]$$

gdzie:

$$\beta = \cosh \left(\frac{1}{2N} \cosh^{-1} \frac{1}{\gamma} \right)$$

$$-N \leq n \leq N$$

$$T_i(x) = \begin{cases} \cos(i \cos^{-1} x) & , |x| \leq 1 \\ \cosh(i \cosh^{-1} x) & , |x| > 1 \end{cases}$$

$T_i(x)$ - postać trygonometryczna wielomianu Czebyszewa

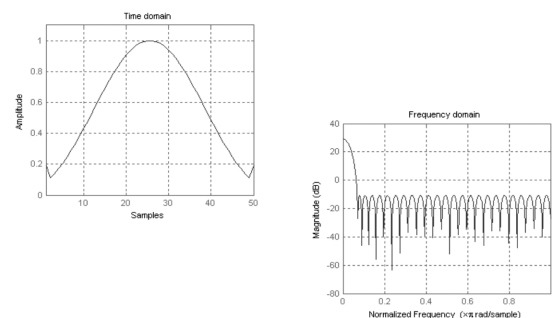
Okno Dolpha-Czebyszewa

Parametr γ określa stosunek amplitudy listków bocznych do amplitudy listka głównego. Możliwe jest więc wpływanie na stopień tłumienia/wzmocnienia w paśmie zaporowym.

Szerokość listka głównego ustalana jest na podstawie liczby współczynników filtra. Dla określonej liczby współczynników okno to umożliwia uzyskanie filtra dla którego występuje najmniejsza szerokość listka głównego w porównaniu do innych okien zapewniając dzięki temu najwęższe pasmo przejściowe.

Wszystkie listki boczne w charakterystyce częstotliwościowej posiadają taką samą wysokość zapewniając jednakowe tłumienie w paśmie zaporowym.

Okno Dolpha-Czebyszewa



Inne metody projektowania filtrów FIR

- Metoda optymalizacji średniokwadratowej
- Metoda próbkowania w dziedzinie częstotliwości
- Algorytm Parks-McClellana (metoda Remeza)

Konwersja typów filtrów

Prezentowane dotychczas przykłady prezentowały charakterystyki częstotliwościowe filtrów dolnoprzepustowych. Uzyskane w procesie projektowania wartości współczynników można poddać określonym przekształceniom w celu uzyskania docelowych własności częstotliwościowych.

Wykorzystuje się w tym celu najczęściej dwa podejścia:

- Zastosowanie własności liniowych systemów niezmiennych w czasie
- Użycie twierdzenia o przesunięciu w dziedzinie częstotliwości dla przekształcenia Fouriera

Twierdzenie o przesunięciu w częstotliwości

$$x(t)e^{j\omega_0 t} \longleftrightarrow X(\omega - \omega_0)$$

$$x(t)e^{-j\omega_0 t} \longleftrightarrow X(\omega + \omega_0)$$



$$x(t) \cos(\omega_0 t) \longleftrightarrow \frac{1}{2} [X(\omega - \omega_0) + X(\omega + \omega_0)]$$

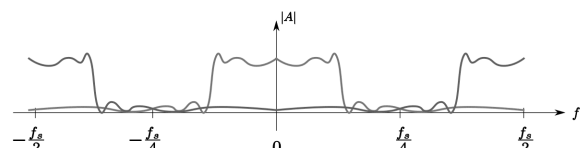
$$x(t) \sin(\omega_0 t) \longleftrightarrow \frac{1}{2j} [X(\omega - \omega_0) - X(\omega + \omega_0)]$$

Konwersja filtrów - filtr HP

Mając wyznaczone dyskretne próbki filtra dolnoprzepustowego i wykorzystując twierdzenie o przesunięciu o określoną wartość ω_0 można uzyskać pożądaną charakterystykę.

Zakładając, że sygnał filtrowany został próbkowany z częstotliwością f_s charakterystykę filtra górnoprzepustowego można uzyskać przez wymnożenie współczynników filtra LP z tonem prostym o częstotliwości $\frac{f_s}{2}$:

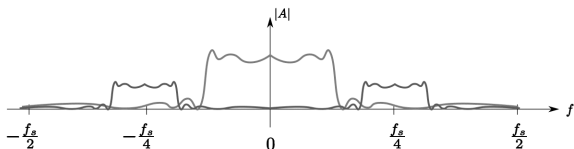
$$h_{HP}(n) = h_{LP}(n) \cdot \sin(\pi f_s n)$$



Konwersja filtrów - filtr BP

Podobnie jak w poprzednim przypadku, dobierając wartość przesunięcia i odpowiednią szerokość listka głównego (liczbę próbek) można przekształcić filtr dolnoprzepustowy w filtr pasmowo przepustowy. Zakładając częstotliwość środkową równą $\frac{f_s}{4}$ oraz szerokość jak dla filtru dolnoprzepustowego, tym razem współczynniki filtra należy przemnożyć przez sygnał sinusoidalny o częstotliwości $\frac{f_s}{4}$:

$$h_{BP}(n) = h_{LP}(n) \cdot \sin\left(\frac{\pi f_s n}{2}\right)$$



Filtry IIR

Filtr rekursywny

Filtr ze sprzężeniem zwrotnym (występuje wielomian mianownika transmitancji).

Podstawowe cechy:

- Możliwość uzyskania stromych charakterystyk amplitudowych w dziedzinie częstotliwości przy małej liczbie współczynników filtra.
- Nieliniowość charakterystyki fazowo-częstotliwościowej (modyfikacja kształtu sygnału w dziedzinie czasu po filtracji).
- Możliwość występowania niestabilności pracy powodujące wzbudzenia filtra (generacja zamiast filtracji).

Filtr rekursywny

Postać ogólna filtru IIR (NOI):

$$y(n) = \sum_{k=0}^{K-1} b_k \cdot x(n-k) - \sum_{l=1}^{L-1} a_l \cdot y(n-l)$$

Odpowiedź filtru:

$$Y(z) = H(z)X(z)$$

Uwzględniając powyższe zależności, odpowiedź w dziedzinie transformaty z przedstawia się następująco:

$$Y(z) = \left(\sum_{k=0}^{K-1} b_k \cdot z^{-k} \right) H(z) - \left(\sum_{l=1}^{L-1} a_l \cdot z^{-l} \right) X(z)$$

Filtr rekursywny

$$H(z) = \frac{Y(z)}{X(z)} = \frac{b_0 + b_1 z^{-1} + b_2 z^{-2} + \dots + b_{K-1} z^{-(K-1)}}{1 + a_1 z^{-1} + a_2 z^{-2} + \dots + a_{L-1} z^{-(L-1)}}$$

Uwzględniając właściwości transformaty z otrzymujemy ostatecznie:

$$H(z) = \frac{(1 - z_1 z^{-1})(1 - z_2 z^{-1}) \dots (1 - z_{K-1} z^{-1})}{(1 - p_1 z^{-1})(1 - p_2 z^{-1}) \dots (1 - p_{L-1} z^{-1})}$$

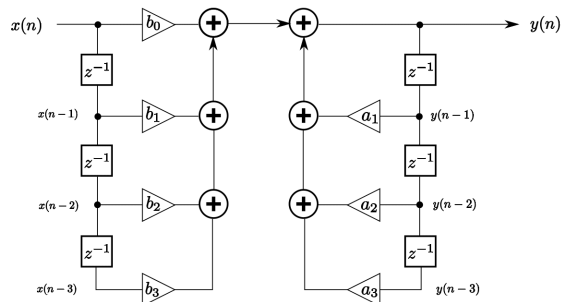
gdzie:

z_i - zera wielomianu licznika (zera transmitancji)

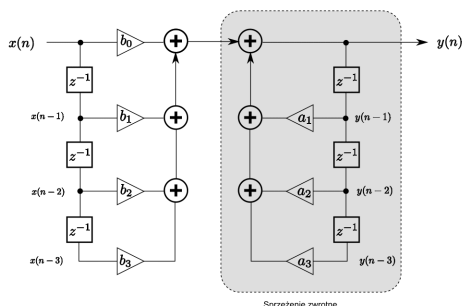
p_i - zera wielomianu mianownika (bieguny transmitancji)

Oznaczenia na płaszczyźnie zespolonej: "x" - biegun, "o" - zero

Podstawowa struktura filtra IIR



Podstawowa struktura filtra IIR



Transformata z

Transformata z wyraża się następującą zależnością:

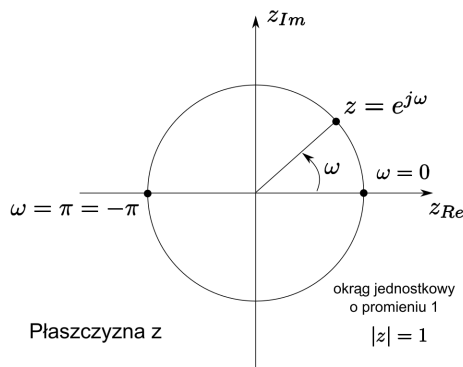
$$H(z) = \sum_{n=-\infty}^{\infty} h(n)z^{-n}$$

gdzie: z - zmienna zespolona

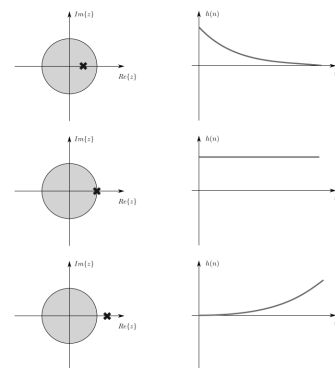
Związek transformaty z z dziedziną częstotliwości można uzyskać dokonując podstawienia $z = re^{j\omega}$:

$$H(z) = \sum_{n=-\infty}^{\infty} h(n)r^{-n}(e^{-j\omega n})$$

Płaszczyzna z



Stabilność



Metody projektowania filtrów rekursywnych

Najczęściej w praktyce stosuje się następujące metody:

- Wykorzystująca transformację biliniową
- Metoda zer i biegunów
- Minimalizacji błędu średniokwadratowego aproksymacji zadanej charakterystyki częstotliwościowej
- Dopasowanej transformaty z
- Niezmienności odpowiedzi impulsowej

Transformacja biliniowa

W przypadku tej metody przyjmuje się założenie, że dla każdego filtra analogowego można skonstruować jego odpowiednik cyfrowy.

Transformacja odwzorowuje płaszczyznę s w płaszczyznę z. Mechanizm ten pozwala na uproszczenie zastępowania funkcji zmiennej s funkcją zmiennej z przy przejściu z transmitancji $H(s)$ do transmitancji $H(z)$, bez potrzeby stosowania przekształcenia Laplace'a i przekształcenia Z.

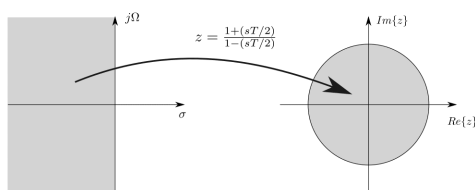
W wyniku zastosowania tej metody występuje nieliniowe zniekształcenie osi częstotliwości funkcji $H(z)$, względem oryginalnej osi częstotliwości dla analogowego prototypu filtra. Prowadzi to do uzyskania większego nachylenia charakterystyki w paśmie przejściowym.

Transformacja biliniowa

Funkcję transmitancji $H(z)$ dyskretnego filtra IIR w dziedzinie transformaty Z można otrzymać przez podstawienie za zmienną s transmitancji analogowego prototypu filtra $H(s)$:

$$s = \frac{2}{T} \left(\frac{1 - z^{-1}}{1 + z^{-1}} \right)$$

gdzie: T jest okresem próbkowania filtra dyskretnego.



Transformacja biliniowa – przykład

Rozważmy konwersję dolnoprzepustowego filtra analogowego Butterwortha drugiego rzędu do filtra cyfrowego. Częstotliwość graniczna filtra wynosi 3000Hz, częstotliwość próbkowania 30kHz. Transmitancja rozpatrywanego filtra analogowego wyraża się następującą zależnością:

$$H_a(s) = \frac{\omega_c^2}{s^2 + \sqrt{2}\omega_c s + \omega_c^2}$$

gdzie: $\omega_c = 6000\pi$. Okres próbkowania wynosi $T = \frac{1}{30000}$ s.

Dokonyjemy podstawienia $s = \frac{2}{T} \left(\frac{1 - z^{-1}}{1 + z^{-1}} \right)$ do transmitancji $H_a(s)$.

Transformacja biliniowa – przykład

W wyniku podstawienia transmitancja $H(z)$ przyjmuje postać:

$$H(z) = \frac{\omega_c^2}{\left(\frac{2}{T}\right)^2 \left(\frac{1 - z^{-1}}{1 + z^{-1}}\right)^2 + \sqrt{2}\omega_c \left(\frac{2}{T}\right) \left(\frac{1 - z^{-1}}{1 + z^{-1}}\right) + \omega_c^2}$$

Po wykonaniu uproszczeń i przyjęciu, że $\omega_c T = \frac{6000\pi}{30000} = \frac{\pi}{5}$ otrzymujemy:

$$H(z) = \frac{0.063964 + 0.127929z^{-1} + 0.063964z^{-2}}{1 - 1.168261z^{-1} + 0.424119z^{-2}}$$

czyli współczynniki filtra IIR wynoszą odpowiednio:

$$a_1 = -1.168261, a_2 = 0.424118 \\ b_0 = 0.063964, b_1 = 0.127929, b_2 = 0.063964$$

Metoda zer i biegunów

W jaki sposób należy dobierać współczynniki transmitancji $H(z)$, aby uzyskać pożądane właściwości częstotliwościowe (amplitudowe i fazowe).

Związek częstotliwościowy transformaty z:

$$X(z) = \sum_{n=-\infty}^{\infty} x(n)z^{-n}$$

Dokonyjemy podstawienia: $z = e^{j\Omega}$, gdzie $\Omega = 2\pi \frac{f}{f_s}$

$$X(e^{j\Omega}) = \sum_{n=-\infty}^{\infty} x(n)e^{-j\Omega n}$$

Metoda zer i biegunów
<p>Następnie określamy $H(z)$ dla określonej pulsacji znormalizowanej. W wyniku tego uzyskujemy informację w jaki sposób filtr przetworzy konkretną składową częstotliwościową:</p> <ul style="list-style-type: none"> moduł ($H(e^{j\Omega})$) informuje o ile filtr wzmocni pulsację Ω kąt ($\angle H(e^{j\Omega})$) informuje o ile filtr przesunie w fazie pulsację Ω <p>Wymnażając postać uogólnioną transmitancji jednocześnie przez z^L i z^K uzyskujemy:</p> $H(z) = z^{L-K} \frac{b_0 (z - z_1)(z - z_2) \dots (z - z_K)}{a_0 (z - p_1)(z - p_2) \dots (z - p_L)}$

Metoda zer i biegunów
<p>Dokonując podstawienia za "z" i odnosząc do częstotliwości uzyskujemy:</p> $H(e^{j\Omega}) = (e^{j\Omega})^{L-K} \frac{b_0 (e^{j\Omega} - z_1)(e^{j\Omega} - z_2) \dots (e^{j\Omega} - z_K)}{a_0 (e^{j\Omega} - p_1)(e^{j\Omega} - p_2) \dots (e^{j\Omega} - p_L)}$ <p>Ze względu na to, że $e^{j\omega} - z_K$ oraz $e^{j\Omega} - p_L$ dla danej wartości Ω są liczbami zespolonymi reprezentującymi zarówno amplitudy jak i kąty:</p> $e^{j\Omega} - z_K = B_K e^{j\alpha_K} \longrightarrow B_K = e^{j\Omega} - z_K , \quad \alpha_K = \angle(e^{j\Omega} - z_K)$ $e^{j\Omega} - p_L = A_L e^{j\beta_L} \longrightarrow A_L = e^{j\Omega} - p_L , \quad \beta_K = \angle(e^{j\Omega} - p_L)$

Metoda zer i biegunów
<p>Charakterystyki częstotliwościowe:</p> <ol style="list-style-type: none"> Charakterystyka amplitudowa $S(\Omega)$ $S(\Omega) = (e^{j\Omega})^{L-K} \frac{b_0 \cdot B_1 \cdot B_2 \cdot \dots \cdot B_K}{a_0 \cdot A_1 \cdot A_2 \cdot \dots \cdot A_L}$ <ul style="list-style-type: none"> ■ Jeśli jedna z wartości B się zeruje to moduł też wynosi zero czyli składowa jest tłumiona ■ Jeśli jedna z wartości A mieści się w zakresie (0,1) to moduł wzrasta czyli filtr wzmacnia składową Charakterystyka fazowa $P(\Omega)$ $P(\Omega) = \Omega(L - K) + (\alpha_1 + \alpha_2 + \dots + \alpha_K) + (\beta_1 + \beta_2 + \dots + \beta_L)$

Metoda zer i biegunów
<p>Określanie częstotliwości (położenie zera bądź bieguna) odbywa się z wykorzystaniem zależności:</p> $f = \frac{\Omega f_s}{2\pi}$ <p>Przy projektowaniu przyjmuje się następujące zasady:</p> <ul style="list-style-type: none"> - Umieszczając zero transmitancji w pobliżu danej częstotliwości powodujemy tłumienie tej składowej - Jeśli zero transmitancji leży dokładnie na okręgu to usuwa całkowicie składową - Zbliżanie bieguna do okręgu od wewnątrz wzmacnia określoną składową - Zera mogą być umieszczone w dowolnym miejscu, bieguny tylko wewnątrz okręgu - Jeśli wszystkie zera i bieguny są zespolone to występują w parach sprzężonych

Metoda zer i biegunów - przykład
<p>Jako przykład zaprojektujmy filtr IIR, który będzie tłumił częstotliwość 185Hz, natomiast wzmacniał częstotliwości 350Hz i 500Hz. Zakładamy, że częstotliwość próbkowania sygnału wynosi 1000Hz.</p> <p>Z założeń wynika, że zostanie wykorzystane jedno zero (z_0) i dwa bieguny (p_0, p_1):</p> $z = Ae^{j\phi_f} \longleftrightarrow A = 1$ $p = Ae^{j\phi_f} \longleftrightarrow A \approx 1 \rightarrow 0.97$ $\phi_f = \frac{2\pi f}{1000}$ $z_0 = e^{j(2\pi \cdot 185)/1000} = e^{j1.162} \quad (0.37\pi)$ $p_0 = e^{j(2\pi \cdot 350)/1000} = e^{j2.199} \Rightarrow 0.97e^{j2.199} \quad (0.7\pi)$ $p_1 = e^{j(2\pi \cdot 500)/1000} = e^{j3.142} \Rightarrow 0.97e^{j3.142} \quad (\pi)$

Metoda zer i biegunów - przykład
<p>Uzyskane wartości zer i biegunów są liczbami zespolonymi, więc stosujemy sprzężenia. Ogólna postać transmitancji dla rozpatrywanego przypadku jest postaci:</p> $H(z) = \frac{(1 - z_0 z^{-1})(1 - z_0^* z^{-1})}{(1 - p_0 z^{-1})(1 - p_0^* z^{-1})(1 - p_1 z^{-1})(1 - p_1^* z^{-1})}$ <p>Po wymnożeniu i redukcji uzyskujemy:</p> $H(z) = \frac{1 - 0.7942z^{-1} + z^{-2}}{1 + 3.343z^{-1} + 4.094z^{-2} + 2.8982z^{-3} + 0.8853z^{-4}}$

Metoda zer i biegunów - przykład
<p>Uwzględniając zależność $H(z) = \frac{Y(z)}{X(z)}$ możemy zapisać:</p> $(1 + 3.343z^{-1} + 4.094z^{-2} + 2.8982z^{-3} + 0.8853z^{-4})Y(z) = (1 - 0.7942z^{-1} + z^{-2})X(z)$ <p>ostatecznie zależność opisująca filtrację w dziedzinie czasu dla próbek dyskretnych przyjmuje postać:</p> $y(n) = x(n) - 0.7942x(n - 1) + x(n - 2) - 3.343y(n - 1) - 4.094y(n - 2) - 2.8982y(n - 3) - 0.8853y(n - 4)$

Cechy filtrów IIR
<ul style="list-style-type: none"> • Transmitancję filtrów rekursywnych można opisać przy pomocy zer, biegunów i wzmocnienia. • W filtrach IIR opóźnienie grupowe zależy od częstotliwości. • Filtry IIR stanowią cyfrowy odpowiednik filtrów analogowych. • W procesie filtracji filtrami rekursywnymi kumulują się błędy numeryczne, które zniekształcają jego charakterystykę i mogą być przyczyną niestabilności. • Warunek stabilności: moduł wszystkich biegunów musi być mniejszy od 1. • W procesie projektowania korzysta się z technik projektowania filtrów analogowych i stosuje się przekształcenia do postaci filtrów cyfrowych.